

Electrophoresis of solid particles embedded in an unbounded electrolyte

Antoine SELLIER

LMFA, CNRS-UMR 5509, École centrale de Lyon/UCBL, 36 avenue Guy-de-Collongues, B.P. 163,
69131 Écully cedex, France

(Reçu le 22 mai 2000, accepté après révision le 6 novembre 2000)

Abstract. We consider an assemblage of $N \geq 1$ solid and charged particles embedded in an unbounded electrolyte. This work examines the rigid-body motion of such solids in an imposed electric field \mathbf{E}_∞ . The advocated approach rests on the treatment of $6N + 1$ boundary integral equations and circumvents determining the electric field \mathbf{E} and the fluid flow within the electrolyte. Numerical results for assemblages of nine uniformly charged spheres or ellipsoids are reported. The interaction between near-contact particles may be very strong and deeply depends on the cluster nature. © 2001 Académie des sciences/Éditions scientifiques et médicales Elsevier SAS

electrophoresis / integral equations / boundary elements

Electrophorèse d'une assemblée de particules en milieu électrolyte infini

Résumé.

On détermine le mouvement de $N \geq 1$ particules solides et chargées en milieu électrolyte infini, sous l'action d'un champ électrostatique imposé \mathbf{E}_∞ . La méthode proposée repose sur la résolution de $6N + 1$ équations intégrales de frontière et s'affranchit de l'évaluation du champ électrostatique effectif \mathbf{E} et de l'écoulement dans l'électrolyte. Les résultats numériques, fournis ici pour neuf sphères ou ellipsoïdes uniformément chargés, révèlent que l'interaction entre les particules devient cruciale lorsque celles-ci sont proches et s'avère très sensible à la configuration étudiée. © 2001 Académie des sciences/Éditions scientifiques et médicales Elsevier SAS

electrophorèse / équations intégrales / éléments de frontière

Version française abrégée

Soient $N \geq 1$ particules solides \mathcal{P}_n (voir figure 1a) en milieu électrolyte infini de permittivité ϵ et de viscosité μ . La surface S_m de \mathcal{P}_m admet ζ_m pour potentiel «zéta» et en présence d'un champ électrique \mathbf{E}_∞ imposé, \mathcal{P}_n acquiert des vitesses $\mathbf{U}^{(n)}$ de translation (celle d'un point O_n de \mathcal{P}_n) et de rotation $\omega^{(n)}$ à déterminer en fonction de ϵ , μ , \mathbf{E}_∞ et des ζ_m [1]. Pour \mathbf{E}_∞ uniforme, la célèbre solution [2–4] de Smoluchowski (1), obtenue pour $N = 1$ et ζ_1 constant, a été étendue [9] au cas $N \geq 2$ si $\zeta_m = \zeta_1$ constant. Cette Note propose une méthode procurant les inconnues $(\mathbf{U}^{(n)}, \omega^{(n)})$ dans le cas le plus général (\mathbf{E}_∞ et ζ_m quelconques).

On adopte des coordonnées cartésiennes d'origine O et la convention de sommation des indices. Sous des hypothèses classiques [10], le champ effectif \mathbf{E} dans le domaine fluide Ω , de frontière $S := \bigcup_{n=1}^N S_n$, s'écrit $\mathbf{E} = \mathbf{E}_\infty - \nabla\phi$ où le potentiel de perturbation ϕ vérifie (2) avec $r := OM$ tandis que l'électrolyte présente un écoulement (\mathbf{u}, p) de Stokes permanent, de tenseur des contraintes σ , sujet à (3)–(4). Les

Note présentée par Paul GERMAN.

vitesses $\mathbf{U}^{(n)}$ et $\boldsymbol{\omega}^{(n)}$ sont obtenues en exigeant [1] un torseur des efforts hydrodynamiques nul sur chaque solide, c'est-à-dire (5) où σ s'exprime, via (2)–(4), en fonction des inconnues $(\mathbf{U}^{(n)}, \boldsymbol{\omega}^{(n)})$. Considérons, pour $L \in \{T, R\}$, $6N$ écoulements $(\mathbf{u}_L^{(n),i}, p_L^{(n),i})$ exerçant sur S les densités surfaciques d'efforts $\mathbf{f}_L^{(n),i}$ et sujets à (3) et (8) où δ désigne le symbole de Kronecker (T ou R correspondant respectivement à une translation ou une rotation de \mathcal{P}_n). Les inconnues $\mathbf{U}^{(n)} = U_j^{(n)} \mathbf{e}_j$ et $\boldsymbol{\omega}^{(n)} = \omega_j^{(n)} \mathbf{e}_j$ obéissent alors [9] au système (6) de coefficients définis par (7). La détermination du mouvement des particules ne requiert ainsi que la connaissance sur S des vecteurs $\nabla\phi$ et $\mathbf{f}_L^{(n),i}$. Ces grandeurs s'obtiennent par résolution d'équations intégrales de Fredholm sur S : la première, (9), de première espèce et bien posée [13], procure ϕ (et donc $\nabla\phi$) sur S et les $6N$ autres, (10), de seconde espèce et bien posées [14,12], fournissent les densités $\mathbf{f}_L^{(n),i}$ et découlent d'une généralisation de résultats exposés dans [14].

La résolution numérique de (9)–(10) utilise des éléments triangulaires curvilignes sur S [11], une représentation isoparamétrique des inconnues et une factorisation LU de chaque système discréte. On envisage (voir *figures 1a–b*) quatre configurations A_l , $l \in \{1, \dots, 4\}$, à neuf sphères ou ellipsoïdes, définies par (11)–(14) où $d \geq 2$ désigne la variable de séparation de A_l (pour des particules en contact $d = 2$). De plus, $\mathbf{E}_\infty = E \mathbf{e}_i$ est uniforme, chaque fonction ζ_m est séparément constante et 74 points de collocation sont disposés sur chaque S_m (sauf 242 points sur la grosse sphère S_5 pour A_2). Si $\zeta_m = \zeta_1 \neq 0$ pour tout m , ces maillages conduisent à des erreurs numériques $\text{Max}_{(n,j)} |\mu U_j^{(n)}| / (\epsilon \zeta_1 E) - \delta_{ij}|$ et $\text{Max}_{(n,j)} |\mu \omega_j^{(n)} c_n(l) / (\epsilon \zeta_1 E)|$ de l'ordre du pourcent pour $d \geq 2, 3$. Si les fonctions ζ_n diffèrent, la mobilité $v_i^{(m)} := \mu U^{(m)} / (\epsilon \zeta_m E)$ de \mathcal{P}_m dans la direction \mathbf{e}_i s'avère dépendre de la configuration et de sa «séparation» d . Pour illustrer ce point, examinons les cas $\zeta_n = \delta_{nm}$ pour (par linéarité et en raison de symétries) les seules valeurs $m \in \{1, 2, 4, 5\}$. Les résultats révèlent que $v_3^{(m)} - 1$ est négligeable pour $d \sim 10$ mais, comme le montrent les *figures 2a–b*, devient pour $d \rightarrow 2$ non seulement appréciable mais très sensible à la configuration et à la position de la particule ($v_3^{(m)} - 1$ est positif si $m = 2$ pour A_2 ou si $m = 4$ pour A_3 et négatif sinon!). Ces conclusions dépendent aussi de la direction \mathbf{e}_i : les *figures 2c–d* montrent ainsi que la particule centrale \mathcal{P}_5 est accélérée (par rapport à la solution de Smoluchowski $v_i^{(5)} = 1$) selon \mathbf{e}_2 et ralentie selon \mathbf{e}_3 pour chaque configuration, le cas de A_1 (neuf sphères identiques) conduisant aux effets les plus prononcés.

1. Introduction

The transport of $N \geq 1$ solid particles \mathcal{P}_n (see *figure 1a*) by an external electric field \mathbf{E}_∞ (Electrophoresis) admits many physical and biological applications.

Each solid \mathcal{P}_n experiences a rigid-body motion, of unknown translational and angular velocities $\mathbf{U}^{(n)}$ and $\boldsymbol{\omega}^{(n)}$, and we denote by ζ_n the so-called zeta potential on its surface S_n . Under the usual “thin double-layer” assumptions and for nonconducting particles [1], the vectors $\mathbf{U}^{(n)}$ and $\boldsymbol{\omega}^{(n)}$ only depend

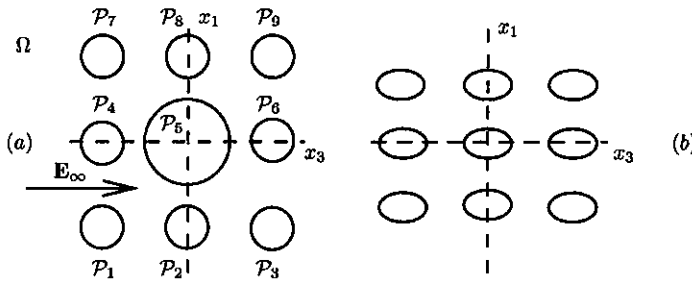


Figure 1. (a) Nine-sphere assemblage A_2 . (b) Nine-ellipsoid assemblage A_4 .

Figure 1. (a) Configuration à neuf sphères A_2 . (b) Configuration à neuf ellipsoïdes A_4 .

Electrophoresis of solid particles embedded in an unbounded electrolyte

on the functions ζ_m , the imposed electric field \mathbf{E}_∞ and the constant permittivity and viscosity ϵ and μ of the electrolyte. Many available works consider a single particle \mathcal{P}_1 . In this direction, the celebrated Smoluchowski solution [2–4]:

$$\mathbf{U}^{(1)} = \frac{\epsilon \zeta_1 \mathbf{E}_\infty}{\mu}, \quad \omega^{(1)} = 0 \quad (1)$$

holds, for any particle's shape, as soon as both \mathbf{E}_∞ and ζ_1 are uniform. Unfortunately, collections of particles are encountered in particle separation and, to the author's very best knowledge [5–8], only clusters of uniformly charged spheres have been addressed for $N \geq 2$ and \mathbf{E}_∞ uniform. As recently established in [9], the solution (1) still holds for any particle and any assemblage provided that $\zeta_n = \zeta_1$ with ζ_1 and \mathbf{E}_∞ uniform. Whenever one of these conditions breaks down a numerical approach seems unavoidable. This Note reduces such a procedure to the treatment of $6N + 1$ boundary integral equations and reports, for nine-particle assemblages, our very first numerical results.

2. The governing system and the relevant boundary integral equations

Henceforth, Cartesian coordinates and the tensor summation convention are adopted whereas $r := OM$ and $S := \bigcup_{n=1}^N S_n$. In the unbounded flow domain Ω , the electric field reads $\mathbf{E} = \mathbf{E}_\infty - \nabla\phi$ and the perturbation potential ϕ obeys the well-posed Neumann-type problem [10]:

$$\nabla^2\phi = 0 \quad \text{in } \Omega, \quad \nabla\phi \rightarrow 0 \quad \text{as } r \rightarrow \infty \quad \text{and} \quad \nabla\phi \cdot \mathbf{n} = \mathbf{E}_\infty \cdot \mathbf{n} \quad \text{on } S \quad (2)$$

In addition, for a weak applied field \mathbf{E}_∞ and small particles, the electrolyte flow (\mathbf{u}, p) is governed by the quasi-static creeping motion problem:

$$\mu \nabla^2 \mathbf{u} = \nabla p \quad \text{and} \quad \nabla \cdot \mathbf{u} = 0 \quad \text{in } \Omega, \quad (\mathbf{u}, p) \rightarrow (0, 0) \quad \text{as } r \rightarrow \infty, \quad \mathbf{u} = \mathbf{u}_d \quad \text{on } S \quad (3)$$

where the prescribed velocity \mathbf{u}_d reads, for the “thin double-layer” model [10]:

$$\mathbf{u}_d(M) = \mathbf{U}^{(n)} + \boldsymbol{\omega}^{(n)} \wedge \mathbf{O}_n M - \frac{\epsilon \zeta_n(M) [\mathbf{E}_\infty - \nabla\phi]}{\mu} \quad \text{on } S_n \quad (4)$$

if $\mathbf{U}^{(n)}$ denotes the velocity of the point O_n of \mathcal{P}_n . Solving (2)–(4) provides (\mathbf{u}, p) and the stress tensor $\boldsymbol{\sigma}$ versus the velocities $\mathbf{U}^{(n)} = U_j^{(n)} \mathbf{e}_j$ and $\boldsymbol{\omega}^{(n)} = \omega_j^{(n)} \mathbf{e}_j$. Finally, such velocities are obtained [1] by requiring zero net hydrodynamic force and torque on each particle \mathcal{P}_m :

$$\int_{S_m} \mathbf{e}_i \cdot \boldsymbol{\sigma} \cdot \mathbf{n} dS_m = 0, \quad \int_{S_m} [\mathbf{e}_i \wedge \mathbf{O}_n M] \cdot \boldsymbol{\sigma} \cdot \mathbf{n} dS_m = 0; \quad i \in \{1, 2, 3\} \text{ and } m \in \{1, \dots, N\} \quad (5)$$

As explained in [9], the conditions (5) actually yield the key $6N$ -equation linear system:

$$A_{(m),L}^{(n),i,j} U_j^{(m)} + B_{(m),L}^{(n),i,j} \omega_j^{(m)} = \frac{\epsilon}{\mu} \int_S \zeta [\mathbf{E}_\infty - \nabla\phi] \cdot \mathbf{f}_L^{(n),i} dS \quad (6)$$

where summations over indices j and m hold, $L \in \{T, R\}$, $i \in \{1, 2, 3\}$, $n \in \{1, \dots, N\}$ and:

$$A_{(m),L}^{(n),i,j} = \int_{S_m} \mathbf{e}_j \cdot \mathbf{f}_L^{(n),i} dS_m, \quad B_{(m),L}^{(n),i,j} = \int_{S_m} [\mathbf{e}_j \wedge \mathbf{O}_m M] \cdot \mathbf{f}_L^{(n),i} dS_m \quad (7)$$

A. Sellier

Moreover, in (6)–(7), the vector $\mathbf{f}_L^{(n),i}$ denotes the hydrodynamic surface force arising on S for the Stokes flow $(\mathbf{u}_L^{(n),i}, p_L^{(n),i})$ that obeys (3) with the conditions (δ is the Kronecker delta):

$$\mathbf{u}_T^{(n),i} = \delta_{nm} \mathbf{e}_i, \quad \mathbf{u}_R^{(n),i} = \delta_{nm} [\mathbf{e}_i \wedge \mathbf{O}_n \mathbf{M}] \quad \text{on } S_m \quad (8)$$

where letters T or R actually pertain to a translation or a rotation of the solid \mathcal{P}_n . According to (6)–(7), one only needs to determine the previous fields $\mathbf{f}_L^{(n),i}$ and the tangential derivatives of ϕ (since $\nabla \phi \cdot \mathbf{n} = \mathbf{E}_\infty \cdot \mathbf{n}$ on S) on the surfaces S_m only. In other words, it is no use gaining the fluid motion (\mathbf{u}, p) and ϕ in Ω . Furthermore, the required vectors $\mathbf{f}_L^{(n),i}$ and $\nabla \phi$ on S may be obtained by solving $6N + 1$ boundary integral equations on S . First, as solution to (2), the function ϕ obeys on S the well-known Fredholm boundary integral equation of the second kind [11]:

$$-4\pi\phi(M) + \int_S [\phi(P) - \phi(M)] \frac{\mathbf{P}\mathbf{M} \cdot \mathbf{n}(P)}{PM^3} dS = \int_S \frac{[\mathbf{E}_\infty \cdot \mathbf{n}](P)}{PM} dS \quad (9)$$

By extending the material available in [12], the components of each force $\mathbf{f}_L^{(n),i}$ are also seen to satisfy the following system of coupled Fredholm boundary integral equations of the first kind:

$$[\mathbf{u}_L^{(n),i} \cdot \mathbf{e}_k](M) = - \int_S \left\{ \frac{\delta_{jk}}{PM} + \frac{(\mathbf{P}\mathbf{M} \cdot \mathbf{e}_j)(\mathbf{P}\mathbf{M} \cdot \mathbf{e}_k)}{PM^3} \right\} \left[\frac{\mathbf{f}_L^{(n),i} \cdot \mathbf{e}_j}{8\pi\mu} \right] (P) dS; \quad k \in \{1, 2, 3\} \quad (10)$$

For $\mathbf{E}_\infty \cdot \mathbf{n} \in \mathcal{H}^{-1/2}(S)$ the solution to (9) is unique in $\mathcal{H}^{-1/2}(S)$ (see [13]) and permits us to compute the tangential derivatives of ϕ on S . The solution to (9) in $(\mathcal{H}^{-1/2}(S))^3$ is defined up to any constant multiple of \mathbf{n} if $N = 1$ [12] and unique if $N \geq 2$ [14].

3. Numerical method and results

Our basic integral equations (9)–(10) are treated by using the classical boundary element method [11]. More precisely, we used on each surface S_n isoparametric triangular and curvilinear boundary elements and resorted to a standard LU factorization algorithm in solving the resulting matrix systems and (6). Henceforth, i_1 or i_3 belong to $\{1, 2, 3\}$ and we restrict our attention to four nine-ellipsoid assemblages A_l , $l \in \{1, \dots, 4\}$, such that

$$OO_n = x_j^n(l) \mathbf{e}_j = (i_1 - 1)d_1(l) \mathbf{e}_1 + (i_3 - 1)d_3(l) \mathbf{e}_3 \quad \text{for } n = 3(i_1 - 1) + i_3 \quad (11)$$

$$\frac{[x_1 - x_1^n(l)]^2}{a_n^2(l)} + \frac{[x_2]^2}{b_n^2(l)} + \frac{[x_3 - x_3^n(l)]^2}{c_n^2(l)} = 1 \quad \text{if } M(x_1, x_2, x_3) \in S_n \quad (12)$$

with (see figures 1a–b for clusters A_2 and A_4) the following settings, for $k \in \{1, 2, 3\}$,

$$a_n(k) = b_n(k) = c_n(k) = 1 + \delta_{n5}(k-1)[-4]^{2-k}, \quad d_1(k) = d_3(k) = d \left[1 + \frac{\delta_{k2}}{2} \right] \quad (13)$$

$$a_n(4) = 0.8, \quad b_n(4) = 1, \quad c_n(4) = 1.2, \quad d_1(4) = 1.6 + 1.2(d-2), \quad d_3(4) = 1.2d \quad (14)$$

where the separation variable $d \geq 2$ equals 2 for touching particles. Thus, A_1 and A_4 consist of nine identical spheres or ellipsoids while eight spheres of unit radii surround a big or a small sphere S_5 for clusters A_2 or A_3 . Each solid \mathcal{P}_n is uniformly charged (ζ_n is constant) and the external field $\mathbf{E}_\infty = E \mathbf{e}_i$ is uniform. By superposition and for symmetry reasons, only cases $\zeta_n = \delta_{nm}$ with $m \in \{1, 2, 4, 5\}$ are addressed. The surface S_n is discretized by using a 74-node mesh except in the case of the 242-node mesh used on S_5 for cluster A_2 . If $\zeta_n = \zeta_1$ (see (1)), such choices yield numerical

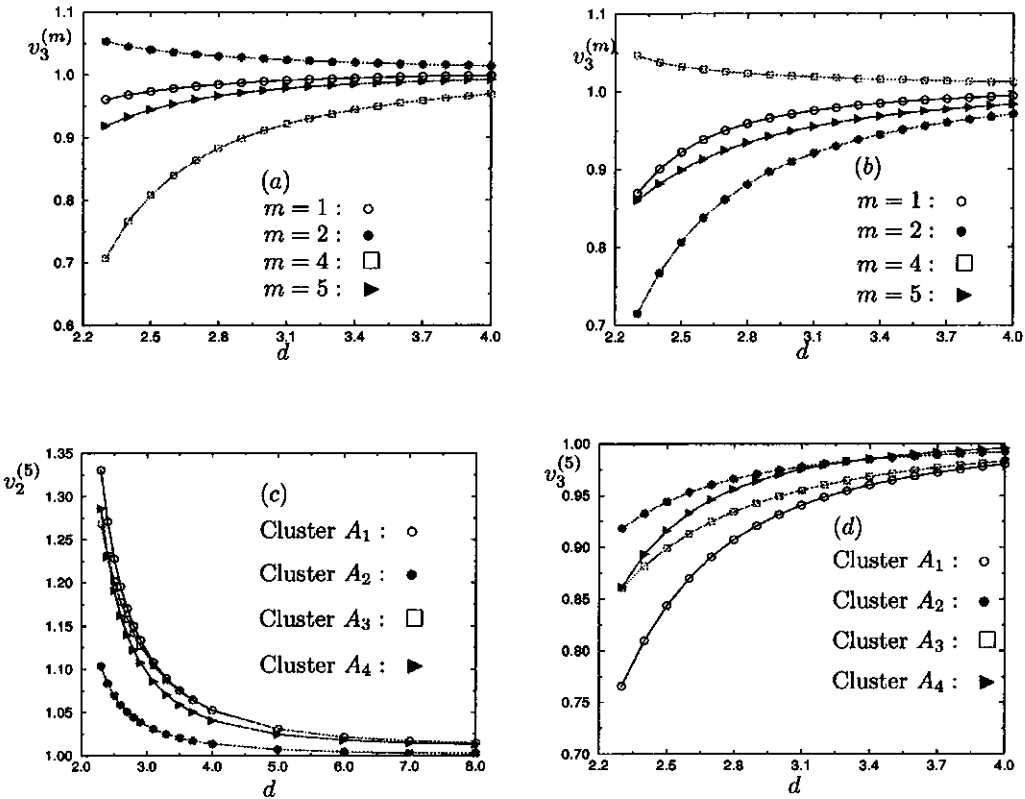


Figure 2. Electrophoretic mobility $v_i^{(m)}$ for $E_\infty = Ee_i$, $\zeta_n = \delta_{nm}$ and $d \geq 2.3$. (a) $i = 3$ and cluster A_2 . (b) $i = 3$ and cluster A_3 . (c) $m = 5$, $i = 2$. (d) $m = 5$, $i = 3$.

Figure 2. Mobilité $v_i^{(m)}$ pour $E_\infty = Ee_i$, $\zeta_n = \delta_{nm}$ et $d \geq 2.3$. (a) $i = 3$ and cluster A_2 . (b) $i = 3$ and cluster A_3 . (c) $m = 5$, $i = 2$. (d) $m = 5$, $i = 3$.

errors $\text{Max}_{(n,j)}|\mu U_j^{(n)}/(\epsilon\zeta_1 E) - \delta_{ij}|$ and $\text{Max}_{(n,j)}|\mu\omega_j^{(n)}c_n(l)/(\epsilon\zeta_1 E)|$ of order of one percent in the range $d \geq 2.3$. For $E_\infty = Ee_i$ and uniform but different zeta potentials ζ_n the electrophoretic mobilities $v_i^{(m)} = \mu U_i^{(m)}/(\epsilon\zeta_m E)$ differ from one and deeply depend on the cluster nature and its separation variable.

As reported in figures 2a–b, the difference $v_3^{(m)} - 1$ quickly vanishes as the separation variable d increases (actually, for $d \sim 10$ each particle seems isolated) while the interactions become dramatic for near-contact particles ($d \rightarrow 2$). In these latter circumstances, $v_3^{(m)} - 1$ is very sensitive to the location of the particle and to the cluster: it is positive if $m = 2$ for A_2 or if $m = 4$ for A_3 and negative in other cases. The results also highly depend on the direction of $E_\infty = Ee_i$. For instance, as depicted in figures 2c–d for $m = 5$, the particle P_5 is speeded up (with respect to the Smoluchowski solution $v_i^{(5)} = 1$) in the direction e_2 while it is slowed down in the direction e_3 . In both directions the assemblage A_1 of identical spheres yields the stronger interactions.

4. Conclusions

The enclosed numerical results reveal strong interactions for near-contact particles of unequal and uniform zeta potentials. The present method also applies to the general case of non-uniformly charged particles embedded in an arbitrary field E_∞ . In addition, the use of iterative methods allows us to deal with a great number of particles (about one hundred). Such basic tasks are currently under investigation.

References

- [1] Kim S., Karrila S.J., *Microhydrodynamics: Principles and Selected Applications*, Butterworth, 1991.
- [2] Morrison F.A., Electrophoresis of a particle of arbitrary shape, *J. Colloid. Interface Sci.* 34 (1970) 210–214.
- [3] Smoluchowski M.V., in: L. Graetz (Ed.), *Handbuch der Elektrizität und des Magnetismus*, J.A. Barth, Leipzig, 1921.
- [4] Teubner M., The motion of charged colloidal particles in electric fields, *J. Chem. Phys.* 76 (11) (1982) 5564–5573.
- [5] Keh H.J., Chen S.B., Particle interactions in electrophoresis I. Motion of two spheres along their line of centers, *J. Colloid. Interface Sci.* 130 (1989) 542–555.
- [6] Keh H.J., Chen S.B., Particle interactions in electrophoresis II. Motion of two spheres normal to their line of centers, *J. Colloid. Interface Sci.* 130 (1989) 542–556.
- [7] Keh H.J., Yang F.R., Particle interactions in electrophoresis III. Axisymmetric motion of multiple spheres, *J. Colloid. Interface Sci.* 139 (1990) 105–116.
- [8] Keh H.J., Yang F.R., Particle interactions in electrophoresis IV. Motion of arbitrary three-dimensional clusters of spheres, *J. Colloid. Interface Sci.* 145 (1991) 362–389.
- [9] Sellier A., Sur l'électrophorèse d'un ensemble de particules portant la même densité uniforme de charges, *C. R. Acad. Sci. Paris, Série IIb* 327 (1999) 443–448.
- [10] Anderson J.L., Colloid transport by interfacial forces, *Ann. Rev. Fluid. Mech.* 21 (1989) 61–99.
- [11] Bonnet M., *Boundary Integral Equations Methods for Solids and Fluids*, Wiley, 1999.
- [12] Pozrikidis C., *Boundary Integral and Singularity Methods for Linearized Viscous Flow*, Cambridge University Press, 1992.
- [13] Dautray R., Lions J.L., *Analyse mathématique et calcul numérique*, Vol. 6, Masson, 1988.
- [14] Ladyzhenskaya O.A., *The Mathematical Theory of Viscous Incompressible Flow*, Gordon & Breach, 1969.
- [15] Reed L.D., Morrison F.A., Hydrodynamic interactions in electrophoresis, *J. Colloid. Interface Sci.* 54 (1976) 117–133.